

PENDETEKSIAN LUBANG DI JALAN SECARA SEMI-OTOMATIS

SEMI-AUTOMATIC POTHOLE DETECTION

Priyanto Hidayatullah¹, Ferry Ferizal², Rheo Habibie Ramadhan³, Bening Qadarsih⁴, dan Febrianto Mulyawan⁵

(^{1,2}Staf Pengajar Jurusan Teknik Komputer Politeknik Negeri Bandung;
^{3,4,5}Pendiri Els Soft)

ABSTRAK

Pendeteksian lubang di jalan, oleh Dinas Pekerjaan Umum (PU) Jawa Barat, saat ini dilakukan dengan tenaga manusia sepenuhnya. Pekerja menyusuri ruas jalan untuk menemukan kerusakan jalan serta mengukur kedalaman, membuat, dan menghitung luas *patch* (penanda lubang ketika akan diperbaiki). Cara seperti ini membutuhkan waktu yang relatif lama. Dengan menggunakan teknologi pengolahan citra, pendeteksian dan perhitungan luas lubang dapat dipercepat dan tetap akurat. Hasil yang telah dicapai adalah terbangunnya sebuah aplikasi yang mampu mendeteksi dan menghitung luas *patch* lubang jalan dengan metode semiotomatis dengan bantuan operator. Hasil penghitungan luas *patch* pada aplikasi memiliki persentase *error* rata-rata sebesar 7,58%. Dengan adanya aplikasi ini, pencatatan kondisi jalan yang mencakup pendeteksian dan penghitungan luas *patch* lubang menjadi lebih cepat dengan tingkat kesalahan relatif rendah. Aplikasi ini dapat dikembangkan sehingga mampu digunakan untuk mendeteksi semua jenis kerusakan jalan, mampu melakukan pendeteksian secara otomatis tanpa bantuan operator, dan mampu melakukan validasi pendeteksian yang lebih baik sehingga hasil pendeteksian lebih akurat.

Kata kunci: pendeteksian lubang jalan, pengolahan citra, fitur citra, derajat keabuan, kontur, histogram

ABSTRACT

Pothole detection conducted by the Public Works Services of West Java is currently completely done by human power. Workers travel along the roads to find and measure the depth of the pothole, create and calculate the area of patch (pothole marker). However, this way requires a relatively long time. By using image processing technology, the detection and calculation of the pothole can be accelerated and remain accurate. The results achieved are an application that is able to detect and calculate the area of pothole patch with semi-automatic methods with the help of the operator. The result of extensive patches on the application has a percentage of average error of 7.58%. With this application, recording the condition of roads that includes the detection and calculating potholes area are faster with relatively low error rate. This application can be improved so that it can be used to detect all types of roads damage, capable of performing detection automatically without operator assistance and is able to do

better validation of the detection and as a result more accurate detection result can be achieved.

Keywords: pothole detection, image processing, image features, gray level, contours of image, histogram.

PENDAHULUAN

Perbaikan jalan yang dilakukan di Jawa Barat melalui tiga tahap. Pertama, dilakukan pencatatan kondisi suatu ruas jalan untuk mendapatkan data kerusakan yang mencakup lokasi ruas jalan (provinsi, kilometer, dan nama ruas jalan), ukuran ruas jalan (panjang, lebar, lebar bahu, dan lebar saluran ruas jalan), jenis kerusakan, luas kerusakan, kedalaman lubang untuk kerusakan berjenis lubang, kedalaman legokan untuk kerusakan berjenis legokan dan informasi kondisi keseluruhan ruas jalan. Pada tahap ini, sebelum dilakukan penghitungan luas tiap-tiap kerusakan yang ditemukan, dilakukan pembuatan *patch*. *Patch* (Gambar 1) adalah *outline* berbentuk poligon segi-n yang mengelilingi kerusakan. Luas kerusakan yang dihitung di sini yaitu luas *patch* dari kerusakan.

Dalam melakukan proses pendeteksian lubang di jalan, Dinas PU Jawa Barat belum memanfaatkan teknologi komputer. Selama ini, proses tersebut masih dilakukan secara manual. Proses pendeteksian dan pencatatan tersebut bisa memakan waktu dua pekan untuk jalan sepanjang 1 km.

Dalam artikel ini, akan dibahas sebuah alternatif untuk membantu proses pencatatan kondisi jalan menggunakan teknologi Pengolahan Citra Digital. Pada aplikasinya, dimasukkan video hasil rekaman kondisi jalan yang rusak.



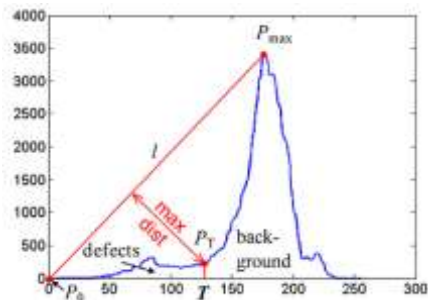
Gambar 1. *Patch* pada lubang jalan dari Muhammad Idris (2010)

TINJAUAN PUSTAKA

Beberapa literatur yang berkembang mengenai pendeteksian lubang jalan menggunakan metode yang beragam. Adi (2005) menggunakan pegas sebagai alat pendeteksi getaran dan Matthies (2003) menggunakan sensor suhu. Adapun Hesami (2009) menggunakan laser dalam pendeteksian lubang beserta kedalamannya. Bersamaan perkembangan teknologi, para peneliti mengembangkan metodenya dengan memanfaatkan teknologi yang terdapat pada perangkat bergerak. Sebagai contoh, De Zoysa (2007) dan Mednis (2011) menggunakan *accelerometer* pada *smartphone*.

Sebagian literatur mendeteksi lubang di jalan menggunakan pengolahan dan analisis citra. Menurut Koch dkk (2011), lubang memiliki ciri visual lebih gelap daripada sekitarnya, bentuknya cenderung elips yang diakibatkan distorsi perspektif,

teksturnya lebih kasar dibandingkan jalan di sekelilingnya. Dalam penelitiannya, Koch dkk membagi pendeteksian lubang di jalan menjadi tiga tahap, yaitu: segmentasi citra, ekstraksi bentuk, dan perbandingan tekstur. Tahap segmentasi citra dilakukan dengan *thresholding segmentation* yang penentuan *threshold*-nya menggunakan histogram (Gambar 2). Ekstraksi bentuk dilakukan dengan *morphology thinning* dan ekstraksi tekstur menggunakan pendekatan statistik yaitu standar deviasi dari intensitas keabuan.



Gambar 2. Penentuan *Threshold* Berdasarkan Histogram oleh Koch (2011)

Vijay (2007) mengatakan pendeteksian lubang bisa bermasalah ketika terjadi efek perpektif linier. Efek ini menimbulkan besarnya sebuah objek yang dekat dengan kamera akan tampak berbeda dengan objek yang jauh dari kamera. Oleh karena itu, citra hasil perekaman kondisi jalan harus dikoreksi terlebih dahulu sebelum diproses lebih lanjut.

Joubert dkk (2011) menggunakan Kinect dan GPS untuk mendeteksi lubang jalan dan posisinya. Untuk mengetahui sisi dari sebuah lubang jalan, Joubert dkk mengestimasi permukaan jalan menggunakan algoritma *random sample consensus* (RANSAC). Titik-titik yang bukan

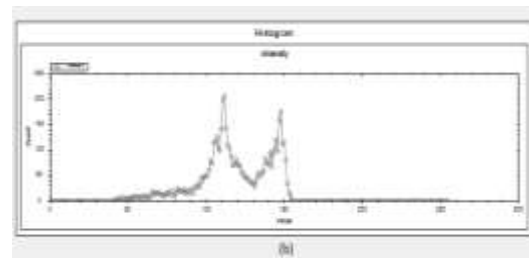
merupakan bagian dari permukaan tersebut adalah titik-titik dari lubang jalan. Algoritma deteksi kontur kemudian diterapkan untuk mengidentifikasi sisi-sisi dari lubang jalan.

METODE YANG DIUSULKAN

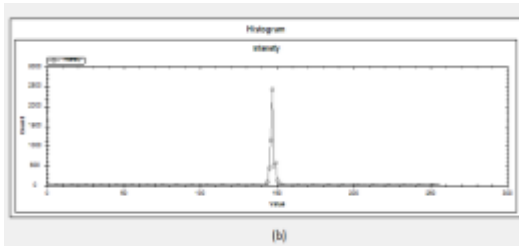
Berdasarkan hasil wawancara dengan nara sumber dari Dinas PU Jawa Barat, didapat definisi dari lubang jalan yaitu suatu jenis kerusakan jalan yang sebagian atau seluruh bagian lapisan jalan rusak atau hilang. Ciri umum lubang berdasarkan karakteristik visualnya yaitu lubang memiliki kedalaman, warna lubang berbeda dengan warna jalan di sekelilingnya (cenderung lebih gelap), tekstur lubang biasanya lebih kasar, dan lubang berbentuk kontur tertutup. Gambar 3 sampai dengan Gambar 5 memberikan ilustrasi akan karakter visual lubang jalan.



Gambar 3. Jalan dengan Lubang



Gambar 4. Histogram Bagian Lubang



Gambar 5. Histogram Bagian Jalan Yang Tidak Berlubang

Proses pendeteksian lubang dan bukan lubang dimulai dengan perekaman video kondisi jalan dengan menggunakan kamera yang dipasang pada kendaraan dengan sudut kemiringan 45°, 60° dan 90°.



Gambar 6. Posisi kamera

Menurut Koch (2011), citra dalam mengukur tingkat kecerahan/kegelapan informasi warna pada citra RGB tidak diperlukan sehingga citra RGB perlu diubah ke dalam citra *grayscale*.

Selanjutnya, dilakukan *noise removal* pada video kondisi jalan. Filter yang digunakan adalah *low pass filter* seperti *mean filter*, *median filter*, dan *gaussian filter*. Ukuran kernel filter yang digunakan adalah 3x3 dan 5x5.

Langkah selanjutnya adalah segmentasi lubang dengan jalan bukan lubang. Metode *thresholding segmentation* yang digunakan oleh Koch dkk (2011) kurang efektif untuk sampel yang digunakan di dalam artikel ini.

Oleh karena itu, dalam artikel ini, diusulkan metode lain, yaitu segmentasi dengan *threshold* dengan penentuan *threshold* menggunakan Rata-rata Intensitas Keabuan Citra dengan rumus

$$U(x) = \begin{cases} 1, & x \geq T \\ 0, & x < T \end{cases} \dots\dots\dots(1)$$

$$T = \dots\dots\dots(2)$$

dengan

U = citra hasil segmentasi

x = nilai pixel citra sebelum disegmentasi

T = *threshold*

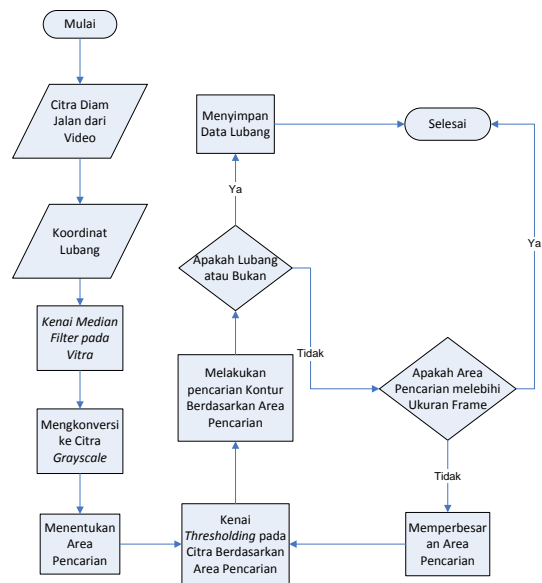
Hasil dari proses segmentasi tersebut adalah citra biner.

Setelah didapatkan citra tersegmentasi, langkah selanjutnya adalah mencari kontur lubang menggunakan *Moore-Neighbor tracing*. Algoritma ini dibuat berdasarkan konsep *Moore Neighborhood*. Ide dari algoritma ini adalah menelusuri kedelapan tetangga *Moore Neighborhood* dengan nilai satu (dapat searah atau berlawanan jarum jam, asalkan konsisten) dari suatu pixel yang bernilai satu. Pertama, sebuah pixel dengan nilai satu dicari dan dinyatakan sebagai pixel “*start*” lalu dari pixel “*start*” ini, mulai dilakukan penelusuran kedelapan tetangga *Moore Neighborhood*. Jika pada saat penelusuran ini ditemukan pixel hitam, mundur (*back track*) ke posisi pixel sebelum pixel hitam ditemukan. Dari sini, kembali telusuri kedelapan tetangga *Moore Neighborhood* dari pixel hitam yang baru ditemukan. Algoritma ini terus berulang hingga kembali ke pixel “*start*” (posisi kembali ke pixel awal).

Berdasarkan ciri umum lubang jalan yaitu memiliki kontur tertutup, pencarian kontur lubang *Moore-Neighbor tracing* dimodifikasi sehingga hanya kontur tertutup yang dihasilkan. Caranya adalah dengan mengubah kriteria penghentian algoritma *Moore-Neighbor tracing*. Pada algoritma aslinya, proses pendeteksian kontur akan berhenti ketika penelusuran kontur kembali ke pixel start dan ketika sebuah pixel hitam dua kali ditelusuri. Hal ini memungkinkan hasilnya berupa kontur terbuka. Pada algoritma yang dimodifikasi, ditentukan kondisi berhenti hanya bila penelusuran kontur kembali ke pixel start yang bisa dipastikan hasilnya adalah kontur tertutup.

Selain itu, algoritma tersebut juga dimodifikasi sehingga setelah ditemukan sebuah kontur, proses tidak akan berhenti, tetapi akan dicari lagi kontur lain sampai tidak ada lagi kontur tersisa. Karena kontur yang berhasil dideteksi mungkin lebih dari satu, kontur disimpan di dalam *array of pixel* multidimensi.

Flowchart dari metode yang diusulkan di dalam artikel ini bisa dilihat pada Gambar 7.



Gambar 7. Flowchart Dari Metode Yang Diusulkan

Setelah proses pendeteksian lubang, selanjutnya adalah penghitungan luas *patch* lubang.



Gambar 8. Percobaan Pertama Penanganan Distorsi Perspektif

Karena pada citra digital sebuah lubang dan *patch*-nya direpresentasikan oleh sekumpulan pixel, untuk menghitung luas *patch* lubang, perlu diketahui satu pixel dalam posisi tertentu mewakili berapa centimeter persegi (luas) di dunia sebenarnya (nilai rasio centimeter persegi/pixel). Untuk mengetahui nilai rasio ini, dilakukan serangkaian percobaan. Teori yang digunakan untuk

penghitungan luas *patch* lubang yaitu regresi non-linear polinomial dan eliminasi Gauss Jordan.

Pertama, diambil citra 16 buah objek karton dengan ukuran 20x20 cm (400 cm²) dengan tinggi kamera 135 cm dan sudut kamera 60°. Penempatan objek-objek ini dapat dilihat pada gambar 8.

Jumlah pixel setiap karton dan lokasinya dalam citra (koordinat titik tengah karton) kemudian dihitung. Dari penghitungan ini, dihasilkan data pada tabel 1.

Karena adanya distorsi perspektif, perlu diketahui keterkaitan antara jarak (dari sumbu x dan sumbu y) dan jumlah pixel yang merepresentasikan karton berukuran 20x20cm. Dapat dilihat pada tabel 11 bahwa perubahan rasio cm²/pixel bersamaan dengan bertambahnya nilai pada sumbu x relatif jauh lebih kecil daripada perubahan rasio cm²/pixel bersamaan bertambahnya nilai pada sumbu y. Atas dasar inilah, diasumsikan bahwa nilai yang memengaruhi rasio cm²/pixel hanya jarak objek dari sumbu x (jarak objek dari bagian atas citra).

Tabel 1. Hasil Percobaan Pertama
Hitung Luas

| | | | | | | | |
|-----|---|-----|---|-----|---|-----|-----|
| | y | | | | | | |
| x | | 89 | | 134 | | 210 | 363 |
| 225 | P | 179 | | | | | |
| 273 | L | 215 | | | | | |
| 382 | H | 180 | | | | | |
| 429 | D | 185 | | | | | |
| 198 | | | O | 395 | | | |
| 257 | | | K | 342 | | | |
| 394 | | | G | 320 | | | |
| 454 | | | C | 324 | | | |
| 150 | | | | | N | 816 | |
| 232 | | | | | J | 819 | |
| 418 | | | | | F | 802 | |
| 496 | | | | | B | 746 | |
| 63 | | | | | | | M |
| 179 | | | | | | | I |

| | | | | | | | |
|-----|--|----|--|-----|--|-----|-----|
| | | | | | | | |
| x | | 89 | | 134 | | 210 | 363 |
| 461 | | | | | | | E |
| 574 | | | | | | | A |

Keterangan :

| | |
|--|--|
| | Jumlah <i>pixel</i> yang mewakili karton |
| | Kode karton |
| | Nilai koordinat x |
| | Nilai koordinat y |

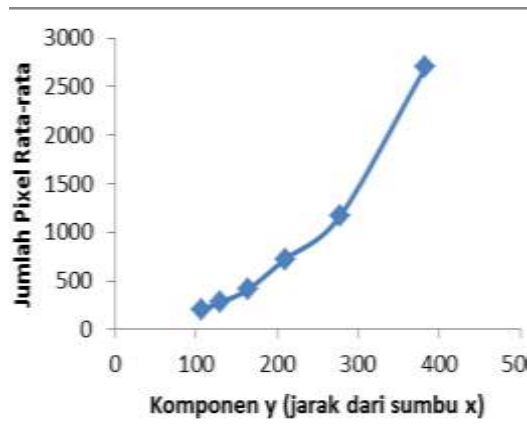
Setelah dibuat asumsi ini, dilakukan kembali percobaan kedua dengan setting yang sama, yang berfokus pada pencarian keterkaitan antara jarak objek dari sumbu x dan rasio cm²/pixel-nya.

Tabel 2. Hasil Percobaan Kedua

| Y | Objek Pada Karton A-F | | Objek Pada Karton G-L | | Rata-Rata | |
|-----|-----------------------|------|-----------------------|------|-----------|------|
| | #Pixel | Cp* | #Pixel | Cp* | #Pixel | Cp* |
| 106 | 188 | 2.12 | 213 | 1.87 | 200.5 | 2.00 |
| 130 | 260 | 1.53 | 300 | 1.33 | 280 | 1.43 |
| 164 | 408 | 0.98 | 415 | 0.96 | 411.5 | 0.97 |
| 210 | 712 | 0.56 | 738 | 0.54 | 725 | 0.55 |
| 277 | 1151 | 0.34 | 1173 | 0.34 | 1162 | 0.34 |
| 383 | 2686 | 0.14 | 2709 | 0.14 | 2697.5 | 0.14 |

*Cp = cm²/pixel

Jika kolom jumlah pixel rata-rata dan y di atas direpresentasikan dalam diagram kartesian, terlihat sebuah kurva (Gambar 9).



Gambar 9. Representasi kurva dari data

Untuk dapat mengetahui nilai jumlah pixel yang mewakili 400 cm² di mana pun pada citra, diperlukan sebuah fungsi yang memuat atau mendekati seluruh data pada tabel (mewakili kurva yang terbentuk). Fungsi kurva ini dapat dicari dengan menggunakan metode regresi polinomial.

Pada kasus ini, komponen y (jarak dari sumbu x) menjadi peubah bebas (*independent variable*, disimbolkan dengan X) yang menentukan nilai jumlah pixel yang mewakili 400 cm² sebagai peubah tak bebas (*dependant variable*, disimbolkan dengan Y).

Rumus umum fungsi polinomial yang dicari adalah

$$Y = a_0 + a_1X + a_2X^2 \dots + a_kX^k \dots\dots\dots(3)$$

dengan k adalah orde dari polinomial nilai konstanta a₀, a₁ .. a_k dapat diketahui dengan rumus umum pada persamaan (4).

$$\begin{bmatrix} n & \sum x_i & \dots & \sum x_i^k \\ \sum x_i & \dots & \sum x_i^{k+1} & \dots \\ \sum x_i^k & \dots & \sum x_i^{k+2} & \dots \end{bmatrix} \begin{Bmatrix} a_0 \\ \vdots \\ a_k \end{Bmatrix} = \begin{Bmatrix} \sum x_i^0 y_i \\ \vdots \\ \sum x_i^k y_i \end{Bmatrix}$$

(4)

dengan n adalah jumlah data yang ada dan k adalah orde dari polinomial.

Pada kasus ini, dicobakan polinomial dengan orde dua dengan rumus fungsinya adalah

$$Y = a_0 + a_1X + a_2X^2 \dots\dots\dots(5)$$

$$Y = 405 - 4.555X + 0.027X^2 \dots\dots\dots(6)$$

Dengan diketahuinya fungsi di atas, jumlah pixel yang mewakili 400 cm² pada dunia nyata yang berlaku untuk pixel dengan jarak dari sumbu x tertentu dapat diperkirakan dengan memasukkan nilai jarak dari sumbu x ke dalam fungsi. Dengan diketahuinya jumlah pixel yang mewakili 400 cm² nilai rasio cm²/pixel dan *error*-nya bisa didapat dengan dengan rumus

$$rasio_{cm^2 / pixel} = \frac{400cm^2}{jumlahpixel} \dots\dots(7)$$

$$\%error = \frac{nilai_{perkiraan} - nilai_{asli}}{nilai_{asli}} \times 100 \dots\dots(8)$$

HASIL DAN PEMBAHASAN

Spesifikasi perangkat keras untuk pembangaunan dan pengujian aplikasi yang dibuat di dalam artikel ini adalah Notebook Asus E82JQ-A1 dengan spesifikasi *harddisk* SATAII 500GB 5400RPM, intel core i7 720QM 1.6Ghz, 4GB RAM DDR2, Window 7 ultimate 32bit. *Software* yang

digunakan dalam membangun aplikasi ini sebagai berikut: Microsoft Visual Studio 2010, OpenCV 2.2, EmguCV 2.2.1.1150 (sebagai jembatan antara OpenCV dan .NET framework).

Tahap persiapan dari metode yang diusulkan adalah perekaman kondisi jalan. Telah dilakukan tiga percobaan dengan sudut yang berbeda untuk mengetahui sudut mana yang paling optimal. Hasilnya terlihat pada tabel 3 yang dapat disimpulkan bahwa sudut penempatan kamera 60° paling baik dibandingkan sudut yang lain karena *field of view* (FOV) yang dihasilkan lebih besar daripada sudut yang lain sehingga sisi kiri dan sisi kanan jalan dapat terlihat kamera secara bersamaan. Selain itu, hasil segmentasi video yang diambil menggunakan sudut ini jauh lebih baik. Adapun distorsi perspektif yang menjadi kelemahan dari sudut penempatan kamera ini ditangani dengan regresi non-polinomial dan eliminasi Gauss-Jordan.

Tabel 3. Kelebihan dan Kekurangan dari Posisi Kamera

| Sudut | Kelebihan | Kekurangan |
|------------|--|---|
| 45° | - <i>Field of view</i> (FOV) > FOV 90° - Proses segmentasi mudah dilakukan | Timbul distorsi perspektif yang mengganggu dalam penghitungan luas <i>patch</i> lubang. |
| 60° | - FOV 60° > FOV 45° - Proses segmentasi mudah dilakukan | Timbul distorsi perspektif yang mengganggu dalam penghitungan |

| Sudut | Kelebihan | Kekurangan |
|------------|--|---|
| | | luas <i>patch</i> lubang. |
| 90° | Tidak ada distorsi perspektif yang mengganggu dalam penghitungan luas <i>patch</i> lubang. | - FOV 90° < FOV 45° - Proses segmentasi sulit dilakukan karena dari sudut pandang ini lubang dan jalan terlihat mirip. |

Pada saat video menunjukkan lubang, video diberhentikan kemudian diekstrak menjadi citra. Selanjutnya, citra tersebut dikonversi ke dalam bentuk citra *grayscale* (Gambar 11) kemudian tahap *noise removal* pada citra *grayscale* hasil dari tahap sebelumnya. Telah dicobakan tiga jenis *low pass filter* yaitu *mean filter*, *median filter*, dan *gaussian filter* dan ukuran kernel 3×3 dan 5×5 . Hasilnya menunjukkan bahwa secara visual, median filter memberikan hasil lebih baik daripada filter lain walaupun waktu yang diperlukan lebih lama. Namun, perbedaan waktunya tidak signifikan. Selain itu, ukuran kernel 5×5 lebih baik dibandingkan 3×3 . Tabel 4 menunjukkan waktu yang diperlukan masing-masing filter untuk menghilangkan *noise* dari 2804 citra dengan ukuran 640×480 pixel dengan kernel 5×5 .

Tabel 4. Perbandingan Penggunaan Waktu Proses *Noise Removal*

| Filter | Waktu |
|----------|------------------|
| Mean | 57.050 milidetik |
| Median | 60.651 milidetik |
| Gaussian | 47.720 milidetik |

Setelah itu, proses *thresholding segmentation*. Sebelumnya, sudah dicobakan segmentasi 2.804 citra dengan ukuran 630x480 pixel menggunakan metode yang diusulkan oleh Koch (2011). Namun, diperlukan waktu 11,7 menit untuk menentukan *threshold*-nya yang tentunya cukup lama. Jika menggunakan metode nilai rata-rata derajat keabuan, waktu yang dibutuhkan hanya 1,7 menit dengan hasil yang baik. Hasilnya terlihat pada Gambar 12. Dari gambar tersebut, terlihat dengan cukup jelas bahwa lubang cukup tersegmentasi dari jalan yang akan memudahkan proses selanjutnya.



Gambar 12. Citra yang telah dikenai *thresholding* (citra biner)



Gambar 10. Citra awal dari jalan yang memiliki lubang



Gambar 11. Citra *grayscale*



Gambar 13. Citra lubang yang telah dideteksi konturnya dan diberi *patch*

Tahap berikutnya adalah pendeteksian kontur yang hasilnya ada pada Gambar 13. Dari gambar tersebut, terlihat pula bahwa kontur dapat terdeteksi dengan baik. Setelah kontur terdeteksi, lubang diberi *patch*.

Setelah dibuat *patch*, selanjutnya proses perhitungan luas *patch*. Namun sebelumnya, perlu dihitung *error* yang mungkin terjadi. Jika dihitung *error* pada percobaan pertama menggunakan persamaan (8) di atas, didapatlah rata-rata persentase *error* 6,288%.

Setelah itu, dilakukan perhitungan *error* dengan kasus nyata yaitu percobaan penghitungan luas *patch* lubang di ruas jalan Sarijadi Bandung. Dipilih tiga lubang jalan di ruas jalan Sarijadi Bandung. Setiap lubang diukur panjang, lebar, dan luasnya. Data

panjang, lebar, dan luas disajikan dalam tabel 5.

Tabel 5. Luas lubang sebenarnya

| No | Panjang | Lebar | Luas |
|----|---------|--------|-----------------------|
| 1 | 190 cm | 139 cm | 26410 cm ² |
| 2 | 97 cm | 136 cm | 13192 cm ² |
| 3 | 79 cm | 73 cm | 5767 cm ² |

Hasil percobaan menunjukkan persentase *error* rata-rata juga turun cukup signifikan jika jarak titik terdekat dengan sumbu x lebih besar daripada 59 pixel dengan persentase *error* rata-rata adalah 7,58%. Oleh karena itu, dibuat batasan bahwa aplikasi yang dibangun hanya menghitung lubang yang terdeteksi jika jarak titik terdekat dengan sumbu x lebih besar daripada 59 pixel dan persentase *error* 7,58% akan menjadi konstanta penambah hasil penghitungan luas *patch* sesungguhnya.

SIMPULAN DAN SARAN

Aplikasi dapat memproses video hasil perekaman kondisi jalan dalam bentuk AVI. Penentuan *threshold* menggunakan rata-rata derajat keabuan lebih cepat dibandingkan dengan histogram dengan hasil yang tidak jauh berbeda. Namun, hasil pendeteksi lubang tidak sepenuhnya akurat karena ada objek yang bukan lubang terdeteksi sebagai lubang ataupun sebaliknya. Misalnya, beberapa bayangan terdeteksi sebagai lubang. Hal ini disebabkan keterbatasan fitur citra yang digunakan. Fitur derajat keabuan dan kontur ternyata belum cukup memvalidasi objek lubang. Oleh karena itu, diperlukan fitur-fitur lain yang dapat memperakurat pendeteksian.

Patch lubang yang dibuat oleh aplikasi sudah mengikuti distorsi

perspektif. Untuk metode penghitungan luas *patch* lubang digunakan regresi polinomial orde 2 dengan persentase *error* rata-rata 7,58%. Jadi, untuk mendapatkan hasil penghitungan luas *patch* lubang yang mendekati luas *patch* lubang sebenarnya, luas *patch* pada aplikasi ditambahkan dengan 7,58% dari luas *patch* lubang pada aplikasi.

Ke depannya, disarankan agar aplikasi dapat mengolah video dalam format yang lebih beragam seperti mpg, mp4, mov, atau flv. Selain itu, ditambahkan fitur lain seperti fitur tekstur dan bentuk agar pendeteksian lubang lebih akurat. *Error* yang dihasilkan dari metode regresi polinomial mungkin dapat diminimalkan lagi. Tentunya diperlukan analisis lebih mendalam lagi mengenai metode perhitungan luas *patch* supaya didapat hasil yang benar-benar akurat.

DAFTAR PUSTAKA

- Adi, Ruzbeh dan Minocher Homji. 2005. *"Intelligent Pothole Repair Vehicle"*, Texas A&M University.
- De Zoysa, Kasun, Chamath Keppitiyagama, Gihan P. Seneviratne, W. W. A. T. Shihan. 2007 . *"A Public Transport System Based Sensor Network for Road Surface Condition Monitoring"*, NSDR'07.
- Hesami, Reyhaneh dan Kerry J. McManus. 2009. *"Signal Processing Approach to Road Roughness Analysis and Measurement"*, Center for Sustainable Infrastructure,

Swinburne University of
Technology, Hawthorn, Australia.

Idris, Muhammad., S.Si.,MT; Rustijan,
ST; Rizki Adelwin, ST; Januri
Sugeng, A.Md. 2010. *Inspeksi
Keselamatan Jalan dan
Pemanfaatan Hawkeye di dalam
Pelaksanaan Inspeksi
Keselamatan Jalan.*

Joubert, Deon, Ayanda Tyatyantsi,
Jeffrey Mphahlehle and Vivian
Manchidi. 2011. *“Pothole
Tagging System”*, Council for
Scientific and Industrial Research,
Pretoria, South Africa.

Koch, Chistian dan Ionnis Brilakis.
2011. *Pothole detection in asphalt
pavement image*. s.l. : Elsevier
Ltd.

Matthies, L dan A Rankin. 2003.
*“Negative Obstacle Detection by
Thermal Signature”*, Intelligent
Robots and Systems.

Mednis, Artis, Girts Strazdins,
Reinholds Zviedris, Georgijs
Kanonirs, Leo Selavo. 2011.
*“Real Time Pothole Detection
using Android Smartphones with
Accelerometers”*, University of
Latvia.

Vijay, Shonil. 2007. *Design of an
Infrastructure using WiFi for the
pot-holedetection system*, Kanwal
Rekhi School of Information
Technology, Indian Institute of
Technology, Bombay,.